

$$\langle IM' | \hat{Q}_{2m} | IM'' \rangle = \frac{Q}{\rho} \langle IM' | \hat{P}_{2m} | IM'' \rangle$$



$$\boxed{\hat{Q}_{2m} = \frac{2Q}{3I^2 - I(I+1)} \hat{P}_{2m}}$$

Az ETG-tensor elemei:

$$V_{20} = V_{zz}$$

$$V_{2\pm 1} = \mp \sqrt{\frac{2}{3}} (V_{xz} \pm i V_{yz})$$

$$V_{2\pm 2} = \frac{1}{\sqrt{6}} (V_{xx} - V_{yy} \pm 2i V_{xy})$$

Az ETG-tensor fö tengely-rendszerében:

$$V_{20} = V_{zz}$$

$$V_{2\pm 1} = 0$$

$$V_{2\pm 2} = \frac{1}{\sqrt{6}} V_{zz}$$

$$\boxed{\hat{H}_Q = \frac{e}{4} (V_{20} Q_{20} + V_{2-2} Q_{22} + V_{22} Q_{2-2}) = \\ = \frac{e}{4} \underbrace{\frac{2QV_{zz}}{3I^2 - I(I+1)}}_{I(2I-1)} \left[\hat{P}_{20} + \frac{1}{\sqrt{6}} (\hat{P}_{22} + \hat{P}_{2-2}) \right] = \\ \downarrow \quad \quad \quad \downarrow \\ \frac{1}{2} (3\hat{I}_+^2 - \hat{I}^2) \quad \quad \quad \sqrt{\frac{3}{8}} (\hat{I}_+^2 + \hat{I}_-^2)}$$

$$\boxed{= \frac{eQV_{zz}}{4I(2I-1)} \left[3\hat{I}_+^2 - I(I+1) + \frac{1}{2} (\hat{I}_+^2 + \hat{I}_-^2) \right]}$$

A vonalak helyzete

$3/2 \rightarrow 1/2$ átmenet (pl. ^{57}Fe):

I = 3/2:

$$\mathcal{H}_{MM'} = \langle IM | \hat{\mathcal{H}}_Q | IM' \rangle = \underbrace{\hbar \omega_E (3/2)}_{\downarrow} \begin{pmatrix} 3 & 0 & \sqrt{3}\eta & 0 \\ 0 & -3 & 0 & \sqrt{3}\eta \\ \sqrt{3}\eta & 0 & -3 & 0 \\ 0 & \sqrt{3}\eta & 0 & 3 \end{pmatrix} \frac{e Q V_{zz}}{\hbar} \frac{1}{4I(2I-1)}$$

Sajátérték-egyenlet:

$$\sum_{M'} \mathcal{H}_{MM'} e_{\beta M'} = E_\beta e_{\beta M}$$

Sajátérték: $E_i = \hbar \omega_E \varepsilon_i$

$$\varepsilon_1 = \varepsilon_2 = 3 \sqrt{1 + \eta^2/3}$$

$$|e_1\rangle = e_+ \left| \frac{3}{2} \frac{3}{2} \right\rangle + e_- \left| \frac{3}{2} - \frac{1}{2} \right\rangle$$

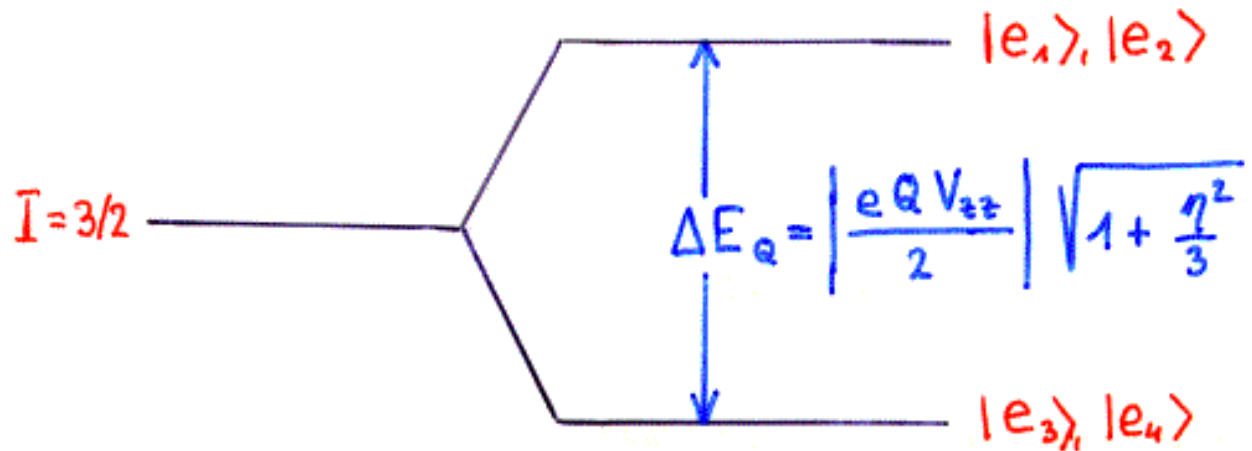
$$|e_2\rangle = e_+ \left| \frac{3}{2} - \frac{3}{2} \right\rangle + e_- \left| \frac{3}{2} \frac{1}{2} \right\rangle$$

$$\varepsilon_3 = \varepsilon_4 = -3 \sqrt{1 + \eta^2/3}$$

$$|e_3\rangle = e_- \left| \frac{3}{2} \frac{3}{2} \right\rangle - e_+ \left| \frac{3}{2} - \frac{1}{2} \right\rangle$$

$$|e_4\rangle = e_- \left| \frac{3}{2} - \frac{3}{2} \right\rangle - e_+ \left| \frac{3}{2} \frac{1}{2} \right\rangle$$

$$e_\pm = \frac{1}{\sqrt{2}} \sqrt{1 \pm \frac{1}{\sqrt{1 + \frac{\eta^2}{3}}}}$$



A vonalhelyekből nyerhető információ

$$\Delta_{ik} = E_i(I_g) - E_k(I_a)$$

↑ ↑
 gerjesztett alap-
 állapot

$$\begin{aligned}\Delta_{ik} &= \hbar [w_e(I_g) \varepsilon_i(I_g) - w_e(I_a) \varepsilon_k(I_a)] = \\ &= \hbar w_e(I_a) \left[\frac{Q_g}{Q_a} \varepsilon_i(I_g) - \varepsilon_k(I_a) \right]\end{aligned}$$

Teljes felhasadás (skálatényező) $\Rightarrow |V_{zz}|$

A spektrumot kell / nem kell tükrözni $\Rightarrow \text{sign}(V_{zz})$

Vonalhelyek (ha kettőnél több vonal van) $\Rightarrow \eta$

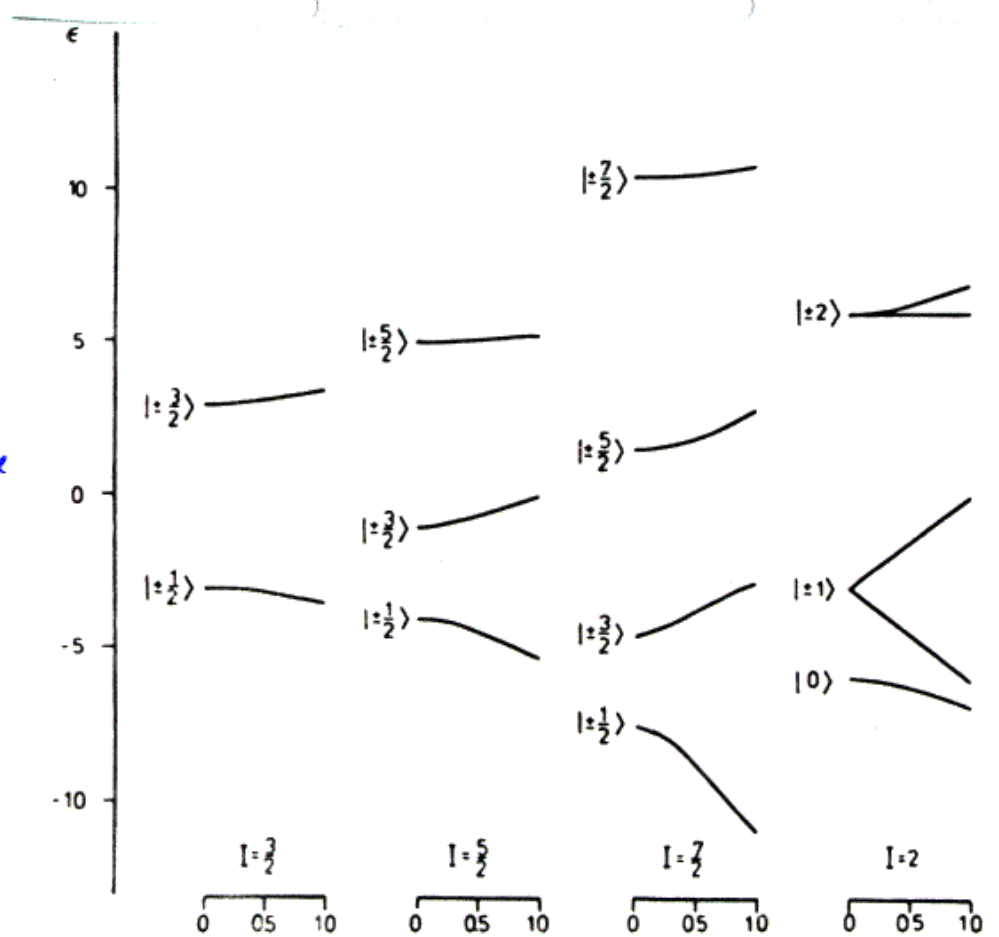
Az ETG-tensor irányára csak a vonalhelyekből nem határozható meg; ehhez a vonalintenzitások irányfüggését is mérni kell.

Eigenschaften:

$$1. \frac{dE_i}{d\eta} = 0 \text{ bei } \eta = 0$$

für
I = halbtahlig

2. Symmetrische
Aufspaltung
bei $\eta = 1$



Tulajdonságok:

$$1. \frac{dE_i}{d\eta} = 0$$

ha $\eta = 0$ -nál,
ha I = feles

2. A felhasadás
szimmetrikus,
ha $\eta = 1$

FIGURE 1. The energy splitting of the various spin states is plotted versus the asymmetry parameter η of the electric field gradient. The energies are given in units of $\mu_r = eQV_z/4I(2I-1)$ for the $I = 3/2, 2$, and $2\mu_r$ for $I = 5/2, 7/2$.

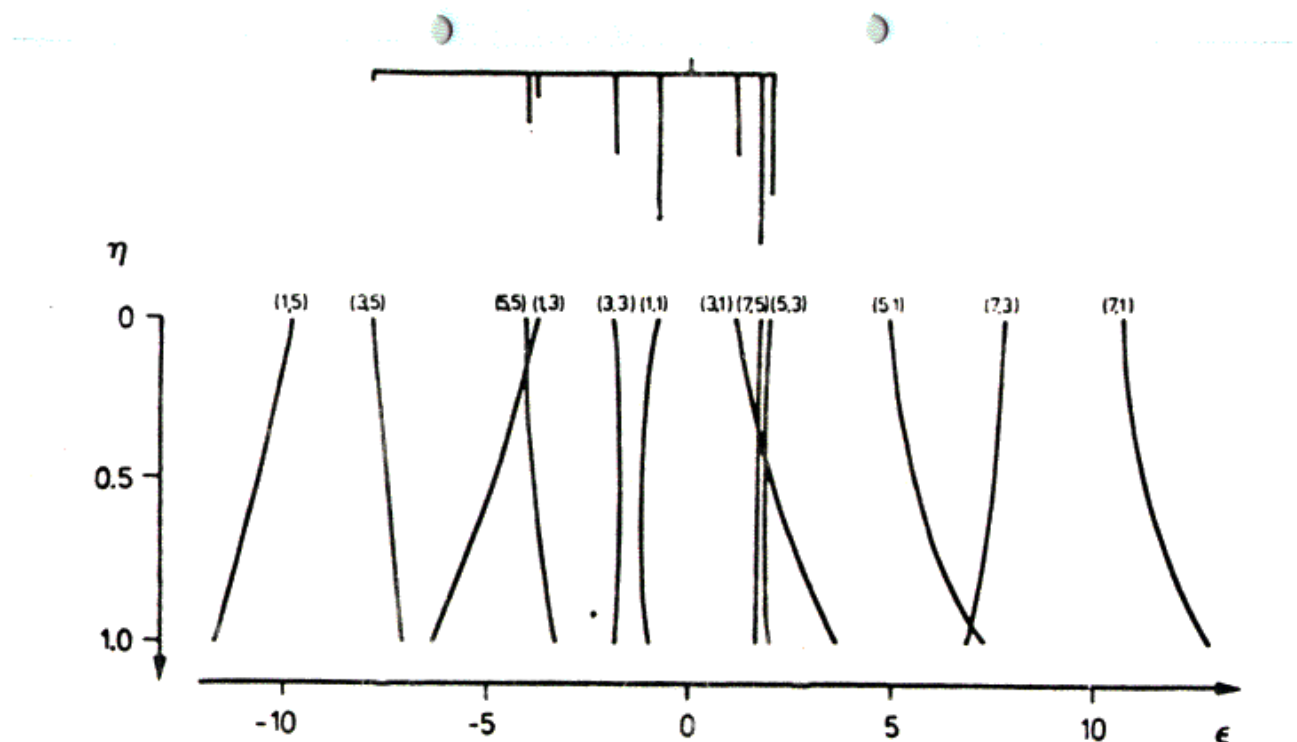


FIGURE 2. The dependence of the line positions δ_{ik} on the asymmetry parameter η is shown for an $(I_e = 7/2 \rightarrow I_k = 5/2)$ transition. The ratio $\mu_{I_e}/\mu_{I_k} = 0.638$ corresponds to the ratio of the quadrupole moments $Q_e/Q_k = 1.34$ of the 21.6-keV transition of ^{141}Eu . The velocity is given in units of $\mu_{I_k}c/E_0$. The symbols (n,m) stand for the transition $(\pm n/2 \rightarrow \pm m/2)$, where the $|\pm m/2\rangle$ are the eigenstates of an axial EFG. On the top of the figure is the stick diagram of the spectrum at $\eta = 0$ with the intensities of a thin powder absorber in the case of a $M1$ transition.

Nonalintenzitások

M1 átmenetre:

$$I(M_a, m, M_g) \sim | \langle I_a, M_a | \hat{M}(M1) | I_g, M_g \rangle |^2 F_{1m}(\theta)$$

\uparrow

elsőrendű szférikus tensoroperátor

$$I(M_a, m, M_g) \sim \begin{pmatrix} I_a & 1 & I_g \\ -M_a & m & M_g \end{pmatrix}^2 F_{1m}(\theta) \quad 0, \text{ ha } M_a - M_g \neq m$$

• $I_a = 1/2, I_g = 3/2$ (pl. ^{57}Fe):

$$\begin{pmatrix} 1/2 & 1 & 3/2 \\ \mp 1/2 & \mp 1 & \pm 3/2 \end{pmatrix}^2 = \frac{3}{12} \quad \begin{pmatrix} 1/2 & 1 & 3/2 \\ \mp 1/2 & 0 & \pm 1/2 \end{pmatrix}^2 = \frac{2}{12}$$

$$\begin{pmatrix} 1/2 & 1 & 3/2 \\ \pm 1/2 & \mp 1 & \pm 1/2 \end{pmatrix}^2 = \frac{1}{12}$$

$$F_{1\pm 1}(\theta) = \frac{1}{4} (1 + \cos^2 \theta) \quad F_{10}(\theta) = \frac{1}{2} \sin^2 \theta$$

Tisztta kvadrupólus-hölcsonhatás, $\eta = 0$:

$$I_{\pi\pi}(\theta) = \frac{3}{8} (1 + \cos^2 \theta) \quad (M_g = \pm 3/2, M_a = \pm 1/2)$$

$$I_{\sigma\sigma}(\theta) = \frac{1}{8} (5 - 3 \cos^2 \theta) \quad (M_g = \pm 1/2; \mp 1/2, M_a = \pm 1/2)$$

Textúra-mentes formintára: $I_1 = I_2$

Anomáliaik oka:

- textúra
- a Mössbauer-Lamb (Debye-Waller)-faktor anizotrópidje (Goldanszkij-Karjagin-effektus)

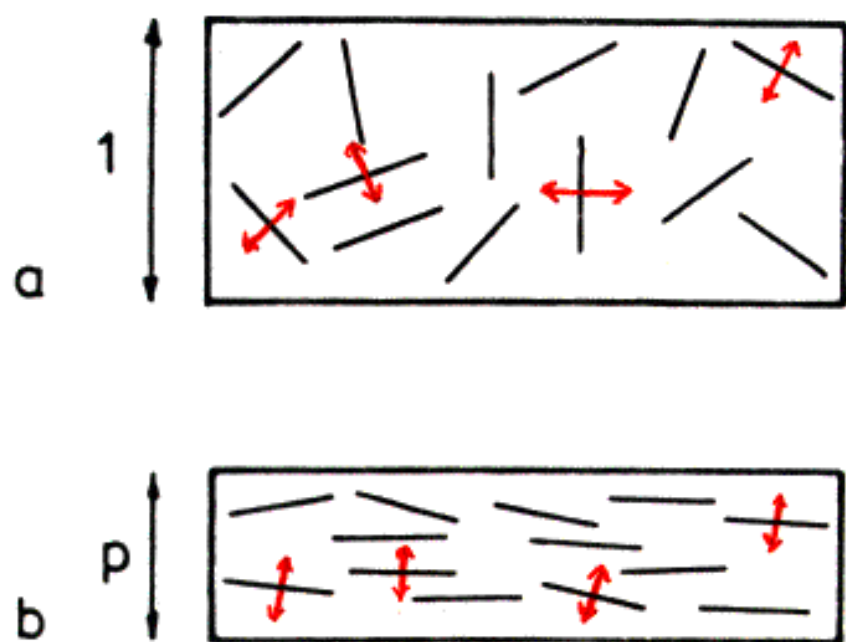


Fig. 1a and b. The appearance of texture in a non-oriented polycrystalline sample of height unity (a) after a compression to height p (b)

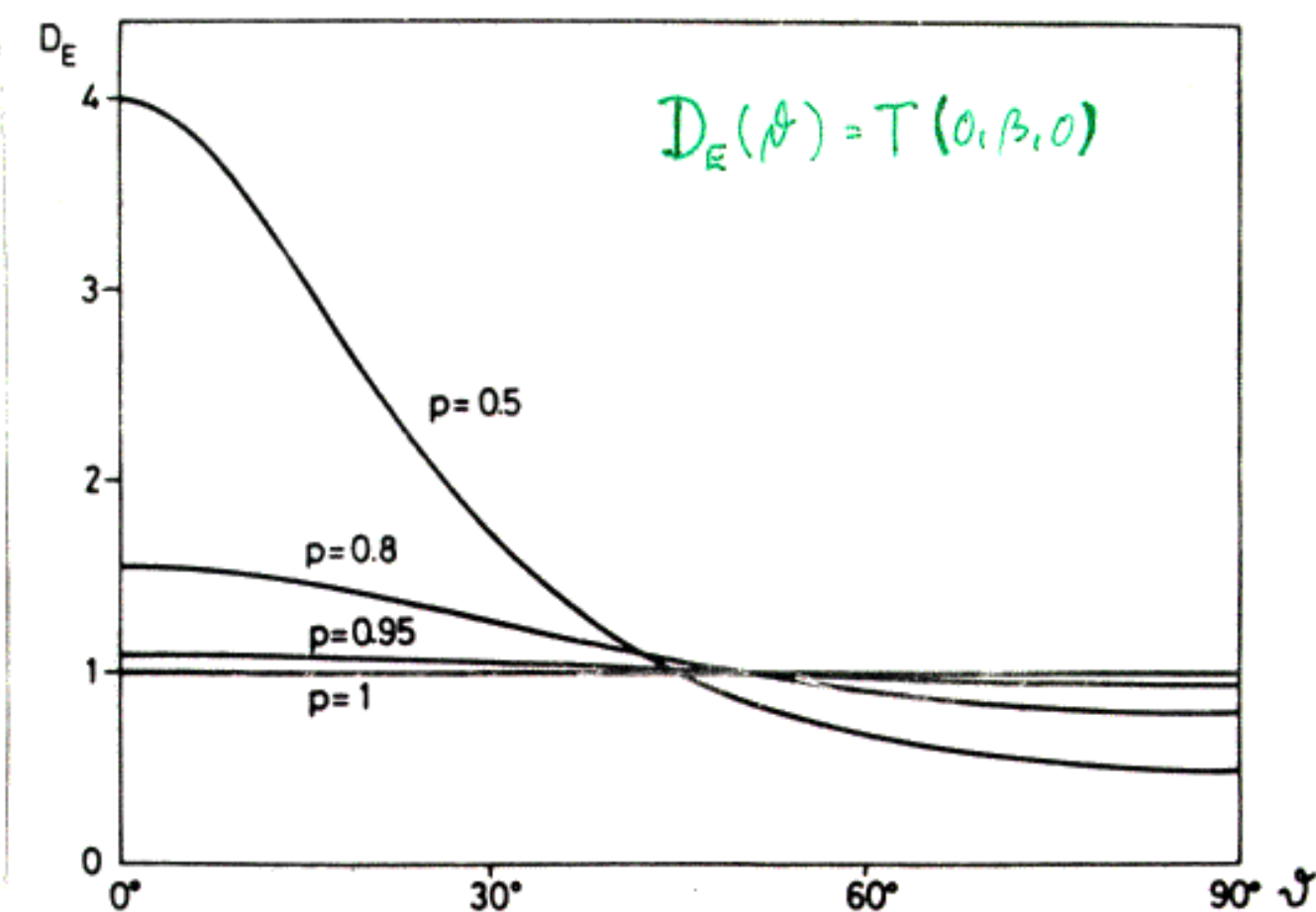


Fig. 5. The texture function $D_E(\theta)$ of planes after a compression from the original height of unity to p

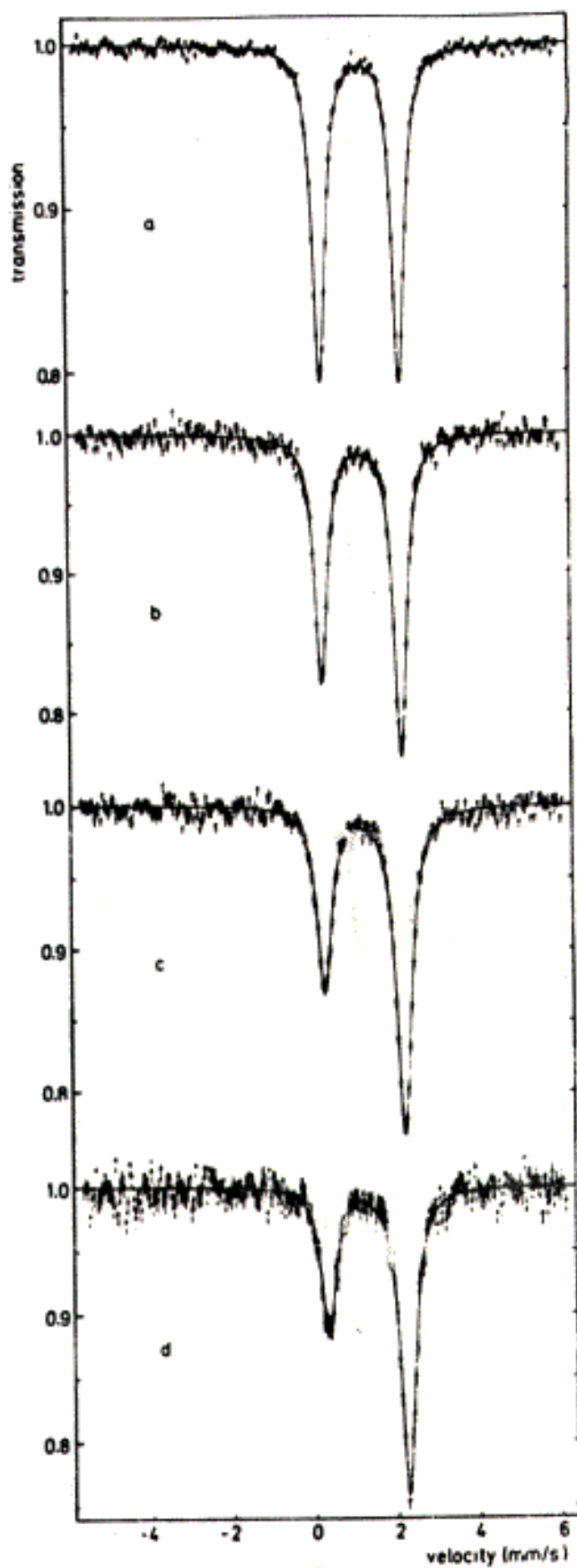


Fig. 2. Some typical Mössbauer spectra of polycrystalline FeCO_3 mixed with active carbon powder at 185 K after applying various longitudinal magnetic fields. (a) Original spectrum, (b) after 5 kG, (c) after 10 kG, (d) after 50 kG.

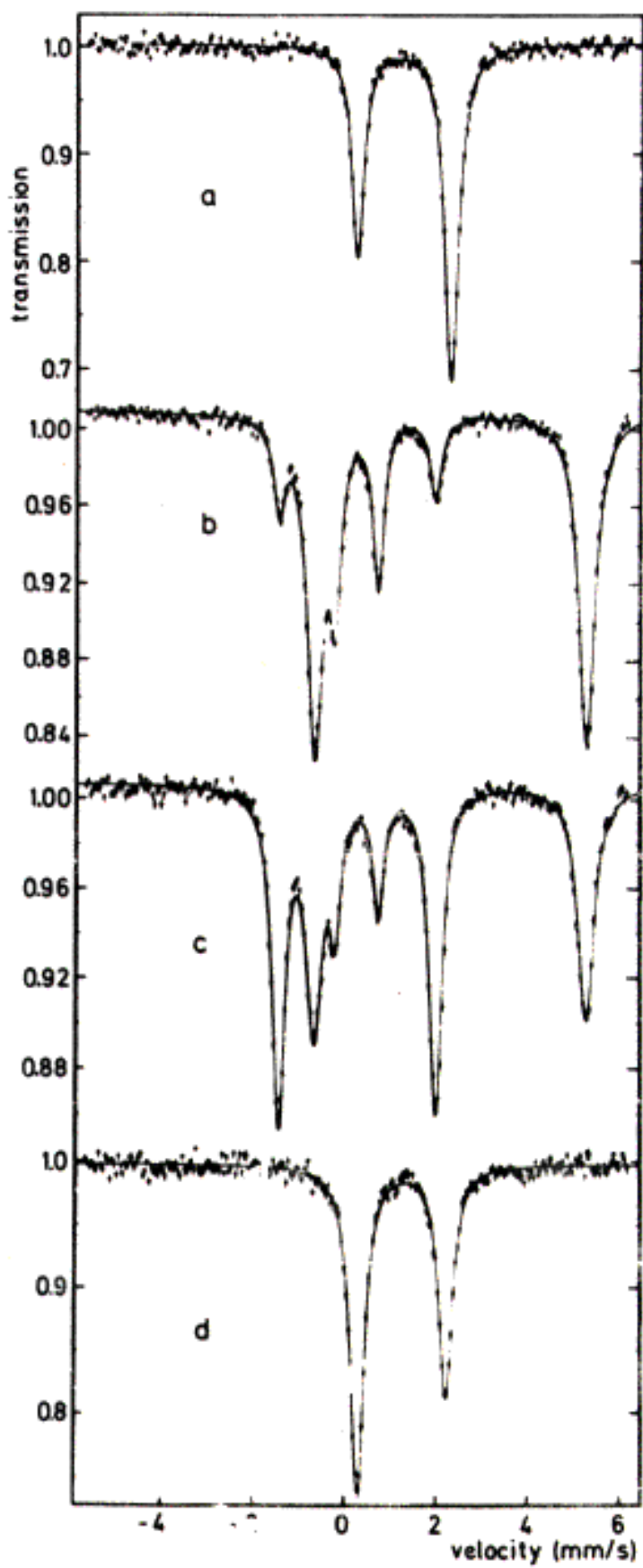


Fig. 4. The reversal of the induced texture: Mössbauer spectra of polycrystalline FeCO_3 mixed with active carbon powder. (a) Spectrum at 60 K after 7.5 kG at 60 K, (b) spectrum at 5 K after 7.5 kG at 60 K, (c) spectrum at 5 K after 50 kG at 5 K, (d) spectrum at 185 K after 50 kG at 5 K.

Az ETG eredete

$$q_r = \frac{V_{zz}}{e}$$

$$\eta q = \frac{V_{xx} - V_{yy}}{e}$$

$$q = (1 - R_s) q_{\text{ion}} + (1 - \gamma_\infty) q_{\text{raics}}$$

$$\eta q = (1 - R_s) \eta_{\text{ion}} q_{\text{ion}} + (1 - \gamma_\infty) \eta_{\text{raics}} q_{\text{raics}}$$

$\overbrace{\quad}^{\uparrow} \quad \overbrace{\quad}^{\uparrow}$

Sternheimer-tényezők

$$0 \leq R_s \leq 1 \quad -100 \leq \gamma_\infty \leq +100$$

Ponttöltés-modell:

$$q_{\text{raics}} = \frac{1}{e} \sum_i e_i \frac{3 \cos^2 \theta_i - 1}{r_i^3}$$

$$\eta_{\text{raics}} q_{\text{raics}} = \frac{1}{e} \sum_i e_i \frac{3 \sin^2 \theta_i \cos 2\varphi_i}{r_i^3}$$

probléma: melykorának az effektív töltések?

$$q_{\text{ion}} = - \sum_i \int \Psi^*(x_1, \dots, x_e) \frac{3 \cos^2 \theta_i - 1}{r_i^3} \Psi(x_1, \dots, x_e) d^3 x_1 \dots d^3 x_e$$

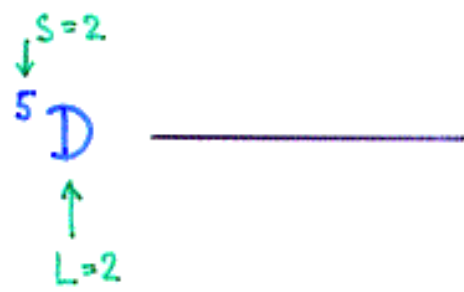
$$\eta_{\text{ion}} q_{\text{ion}} = - \sum_i \int \Psi^*(x_1, \dots, x_e) \frac{3 \sin^2 \theta_i \cos 2\varphi_i}{r_i^3} \Psi(x_1, \dots, x_e) d^3 x_1 \dots d^3 x_e$$

Elegendő az integrálokat a nem lezárt héjakra számolni.

Az egyes elektronállapotok járuléka (példa: Fe^{2+}):

$$E_g \xrightarrow{\qquad\qquad\qquad} \begin{array}{c} d_{x^2-y^2} \\ + (4/7) \langle r^{-3} \rangle \end{array} \quad 0$$

$$\xrightarrow{\qquad\qquad\qquad} \begin{array}{c} d_{z^2} \\ - (4/7) \langle r^{-3} \rangle \end{array} \quad 0$$



Szabad ion

$$\begin{array}{ccc} d_{xy} & + (4/7) \langle r^{-3} \rangle & 0 \\ d_{xz} & - (2/7) \langle r^{-3} \rangle & +3 \\ d_{yz} & - (2/7) \langle r^{-3} \rangle & -3 \end{array}$$

Kristálytér-felhasadás



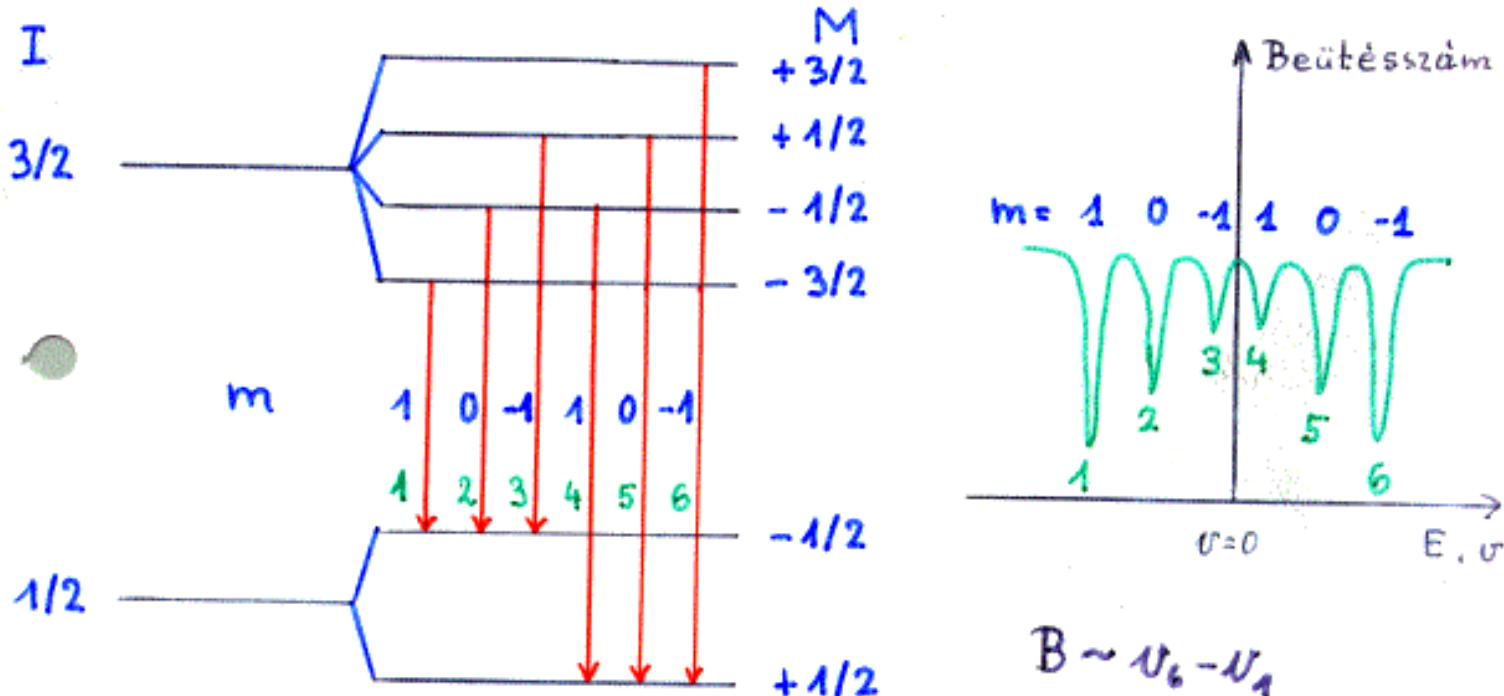
$$|V_{zz}| < |V_{xx}|, |V_{yy}|$$

- Gyors átmenet (relaxáció) az elektron-nívók között ($\gamma \ll 1/\omega_E$): a mag az alnívók által keltett ETG termikus átlagát látja.
↓
a megfigyelt ETG hőmérsékletfüggő.
- Lassú átmenet ($\gamma \gg 1/\omega_E$): a megfigyelt spektrum az egyes elektron-nívókhöz tartozó sztatikus alspektrumok Boltzmann-súlyozott átlaga.
- Átmeneti tartomány ($\gamma \approx 1/\omega_E$): "relaxációs" spektrumok

Mágneses felhasadás

$$|I, M\rangle : E_{magn} = -g \mu_n B M$$

Pl.: $I_g = 3/2$, $I_a = 1/2$, M1 átmenet (^{57}Fe)



$$\underline{B} = \underline{B}_0 - \frac{D\mu_0}{4\pi} \underline{M} + \frac{\mu_0}{3} \underline{M} + \underline{B}_{dL} + \underline{B}_s + \underline{B}_L + \underline{B}_D$$

\uparrow külösö tér	\uparrow lemágnes- zési tér (gömbre: $D = \frac{4\pi}{3}$)	\uparrow Lorentz- tér	\uparrow külösö di- pólusok tere	\uparrow Fermi- fele kontakta- tör	\uparrow spin- dipólus- tér
-----------------------------	---	-------------------------------	--	--	--

\Downarrow
 spontán mágneszettség

hiányában elhangosítató

$$\underline{B}_s \sim \langle \underline{S} \rangle$$

$$\underline{B}_L \sim \langle \underline{L} \rangle$$

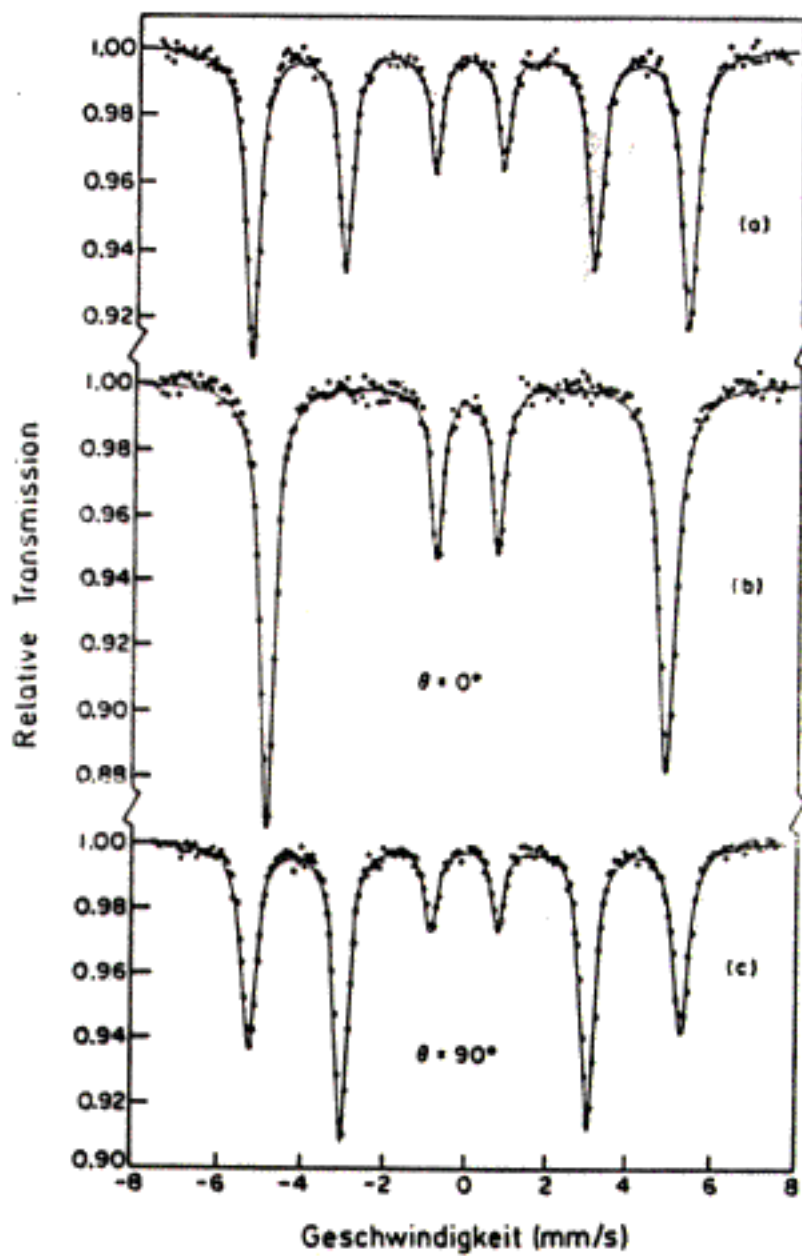
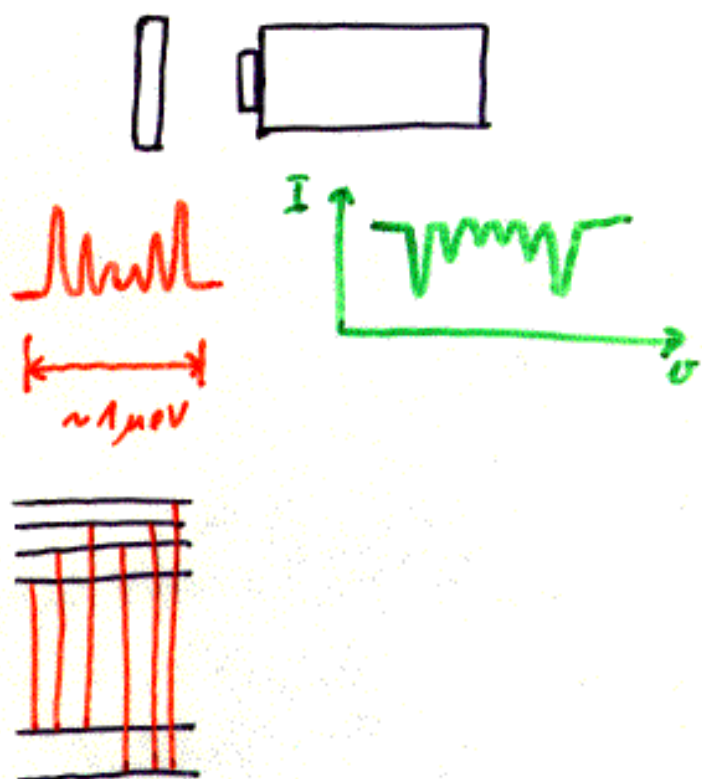
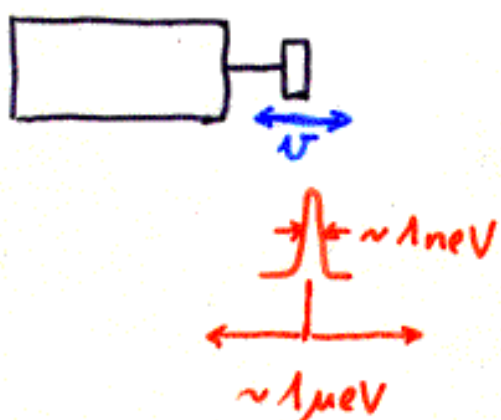


Abb. 4.23: ^{57}Fe Mößbauer-Spektrum für Eisen. Quelle: ^{57}Co in Pt.

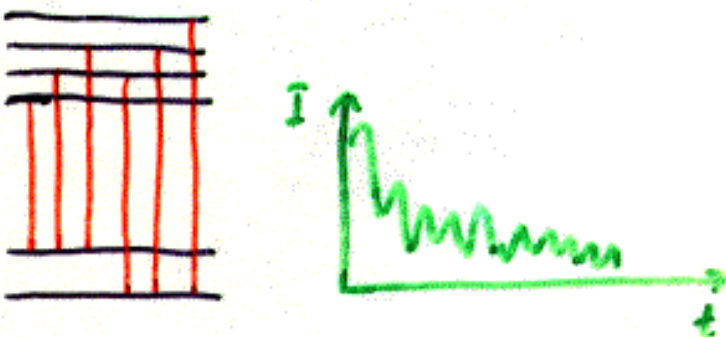
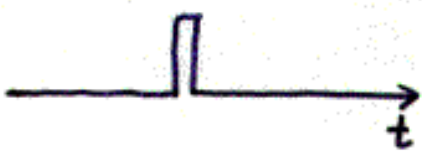
- a) Für Absorber aus unmagnetisiertem Eisen (die Richtungen des inneren \vec{B} -Felds sind statistisch verteilt).
- b) Für Absorber aus magnetisiertem Eisen bei dem die Magnetisierung und damit das B -Feld parallel zur Ausbreitungsrichtung \vec{k} des γ -Quants steht.
- c) Für Absorber aus magnetisiertem Eisem bei dem die Magnetisierung und damit das B -Feld senkrecht auf der Ausbreitungsrichtung \vec{k} des γ -Quants steht (GON 75)

Szinkrotronos vs. hagyományos Mössbauer-spektroszkópiá

- Hagyományos:



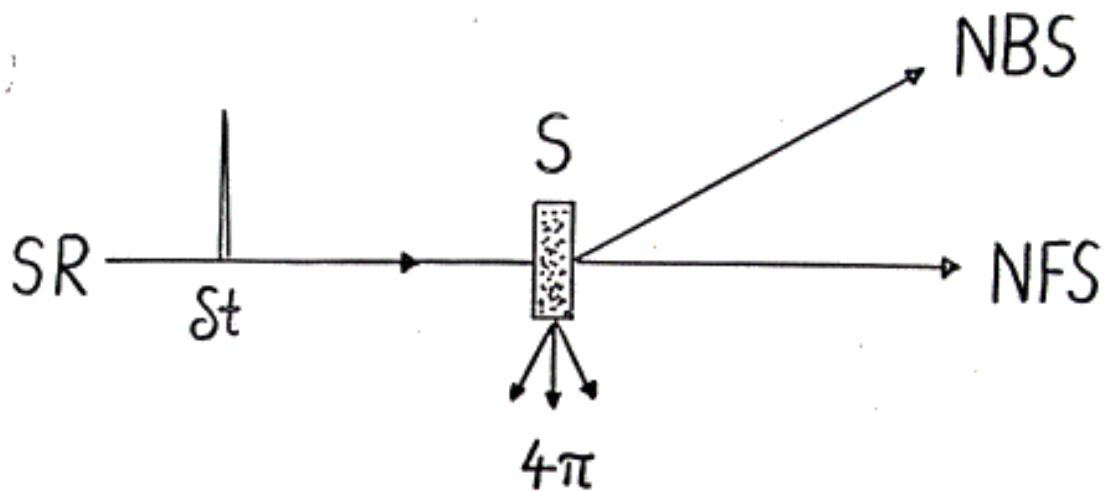
- Szinkrotronos:



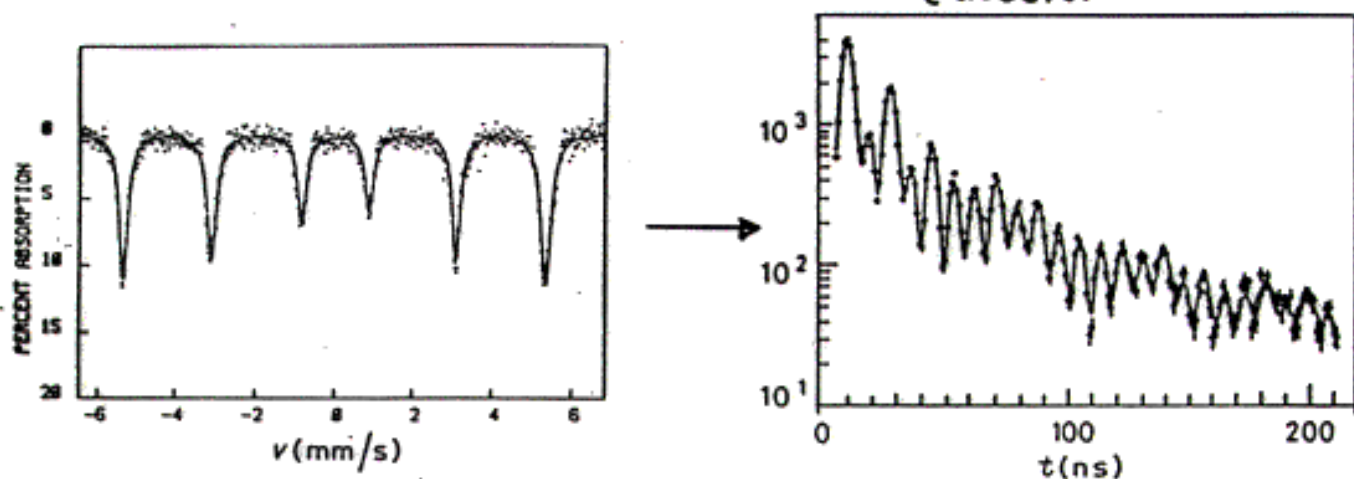
koherens gerjesztés, koherens bőmlás

Interferencia a hiperfinom átmenetek között:
kvantum-beat szerkezet

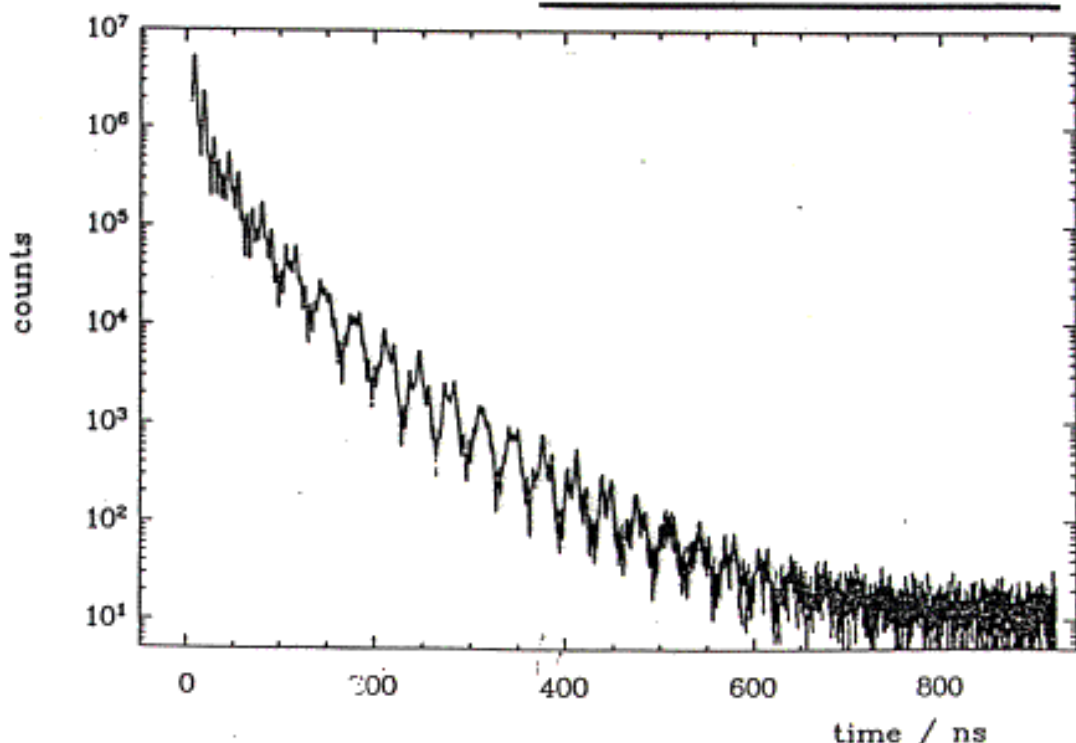
Célszerű a gerjesztő nyaláböt $\sim 1 \mu\text{eV}$ -ra monokromatizálni.

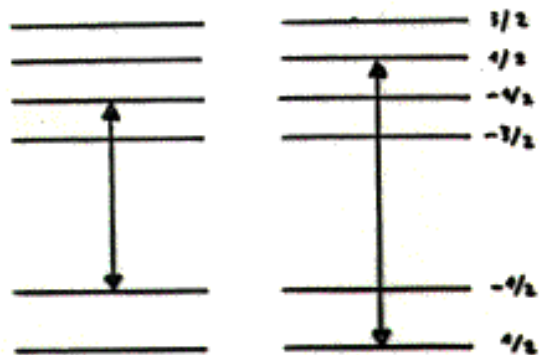


time dependence of response { coh. incoh. of sample

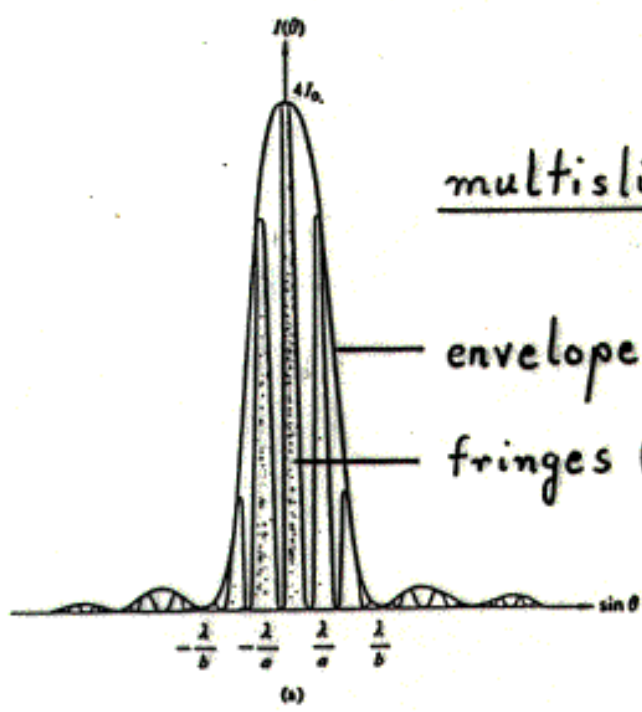
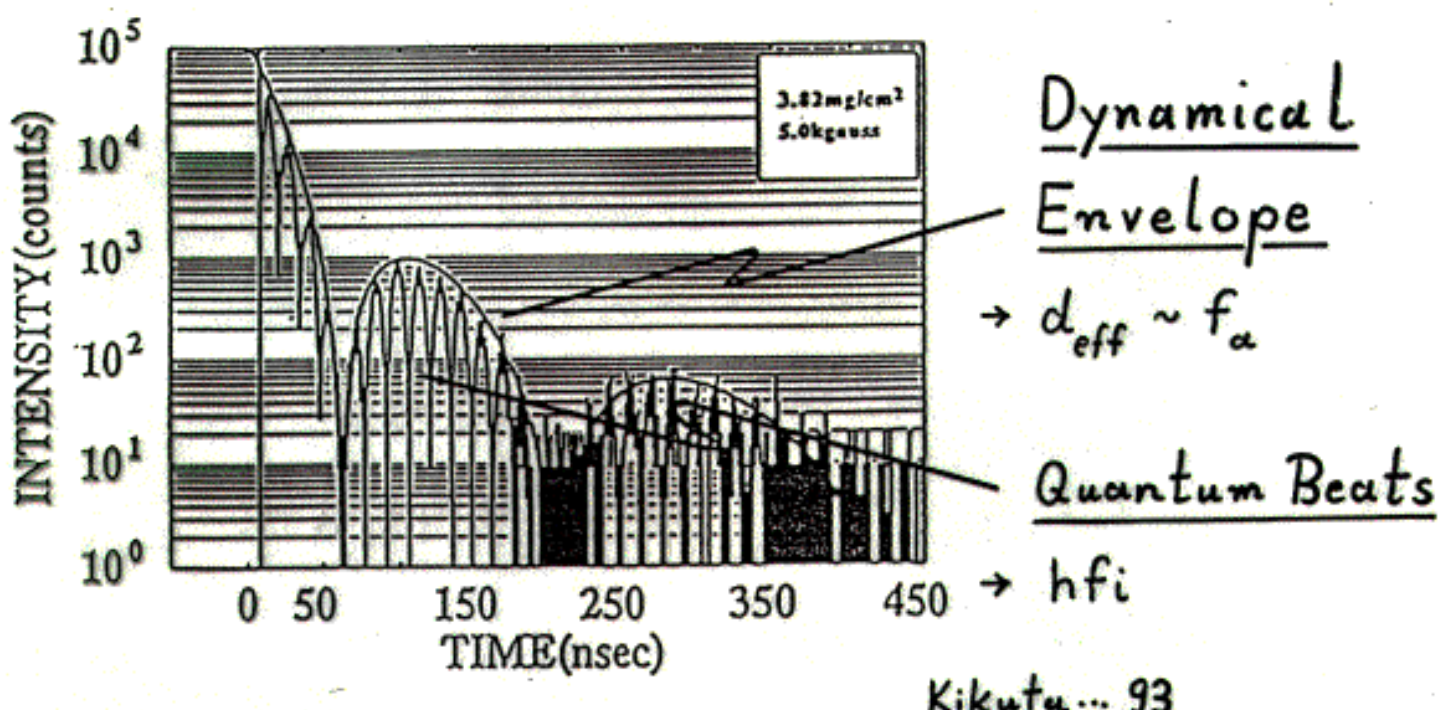
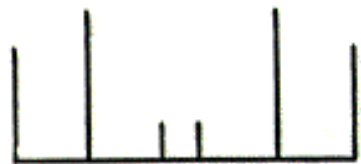


Quantum Beats





$^{57}\text{Fe} : \Delta m = 0$



reciprocal scales

MS

-p MS

$$\Gamma_0 = 5 \text{ neV}$$

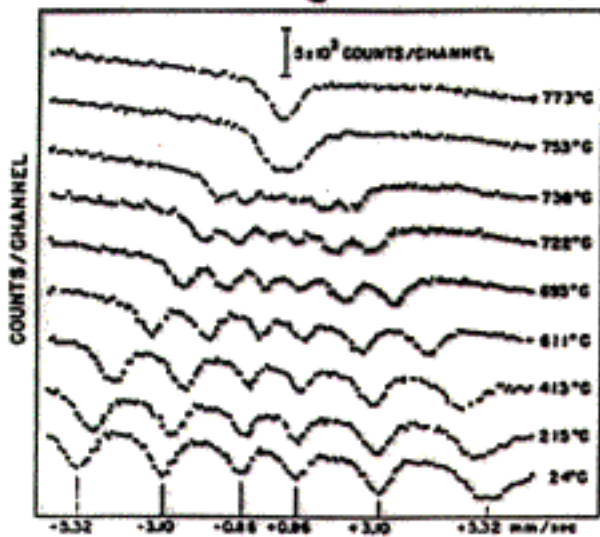
$$\tau_0 = 141 \text{ ns}$$

$$\Delta_{hf} = 100 \Gamma_0$$

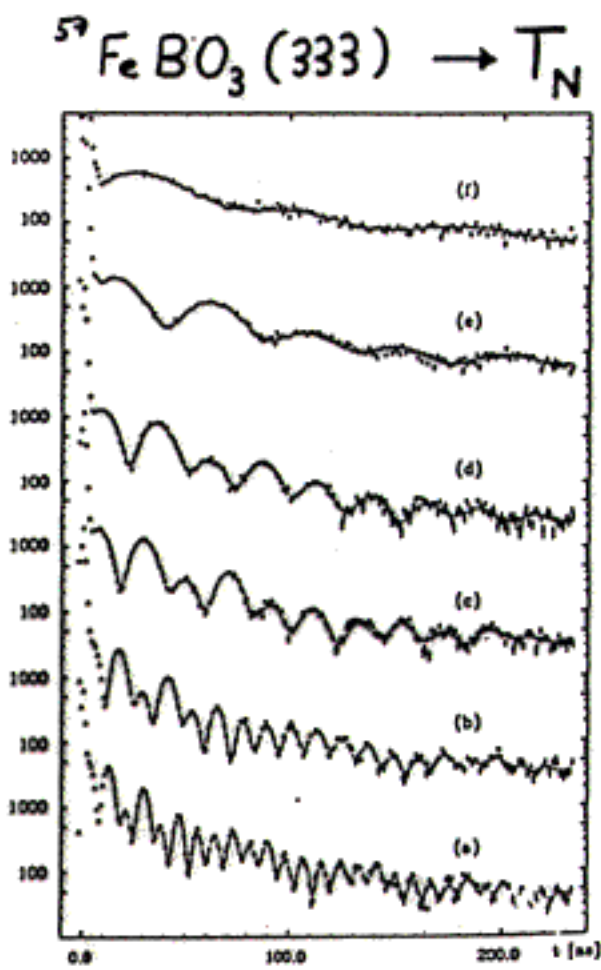
$$T_{QB} = 8 \text{ ns}$$

both scales accessible!

$^{57}\text{Fe} \rightarrow T_c$



Nagle ... 60

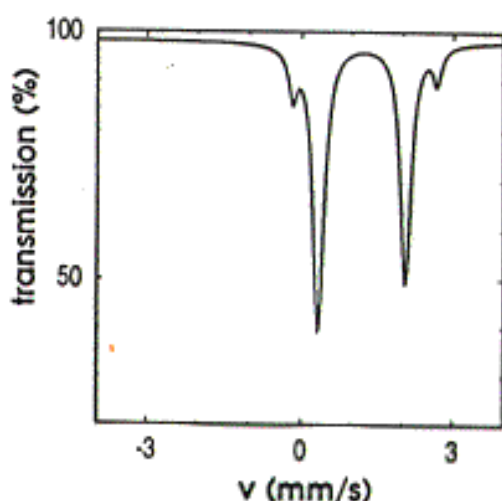
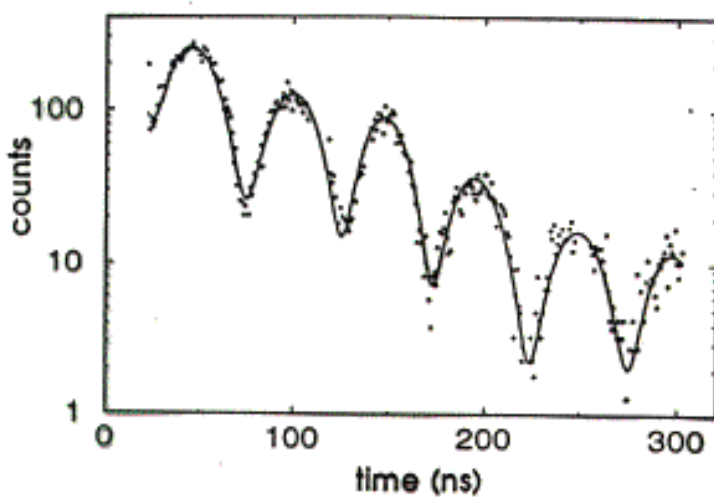


Rüter ... 90

Chumakov ... 90

Mohr's salt, $^{57}\text{Fe} (\text{NH}_4)_2 (\text{SO}_4)_2 \cdot 6 \text{H}_2\text{O}$

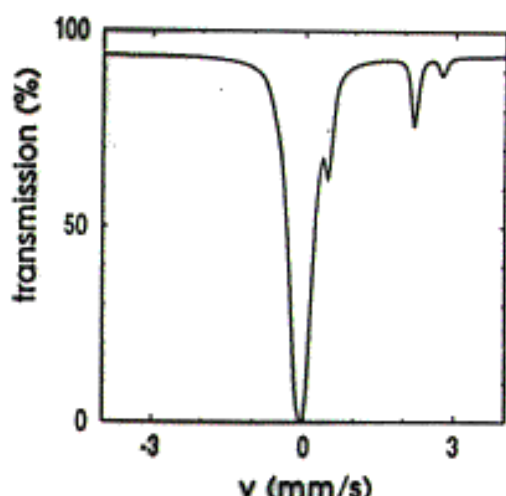
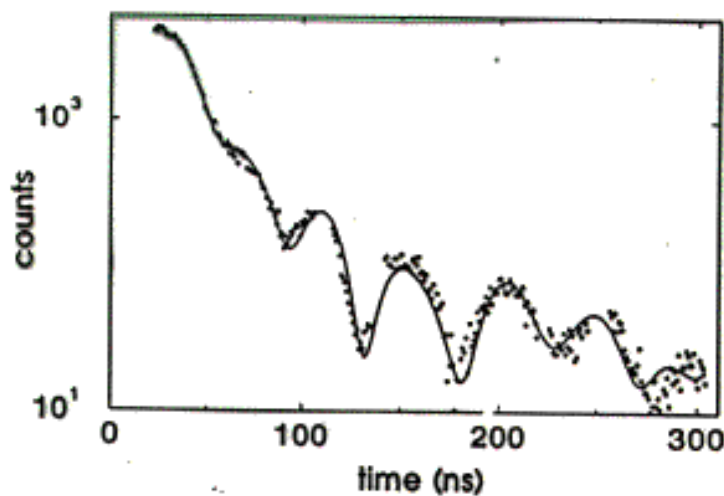
1.1



quadrupole splitting : 1.710(7) mm/s

data collection time : 1 hour

Mohr's salt + stainless steel



quadrupole splitting : 1.718(8) mm/s

isomer shift : 1.41(2) mm/s

data collection time : 2 hours

Térbeloszlási (felbontásjavító) módszerek a Mössbauer-spektroszkópiában

Egy szerűsítő feltevésök:

- transzmissziós geometria
- vékony abszorbens
- sztatikus hiperfinom kölcsönhatás
- ^{57}Fe (14.4 keV)

A mérő spektrum (relativ abszorpció):

$$y(v) = \int_{-\infty}^{+\infty} p(w) \ell(v-w) dw$$

↑
a hiperfinom energia
eloszlás függvénye

$$\ell(v) = \frac{\Gamma}{\pi} \frac{1}{v^2 + \Gamma^2}$$

Ez a fizikai információ!

Elsödleges feladat: $p(v)$ meghatározása $y(v)$ -ból.
 $p(v)$ ismeretében – ha egyáltalán – az izomer eltolódás,
az ETG és a hiperfinom mágneses tér (esetleg korrelált)
eloszlása már megkapható.

A Fourier-technika

$y(v)$ konvolúció: $y(v) = p(v) * l(v)$



a konvolúció műveleti jele

$$p(v) = \frac{1}{\sqrt{2\pi}} \mathcal{F}^{-1} \frac{\mathcal{F} y(v)}{\mathcal{F} l(v)} = \frac{1}{\sqrt{2\pi}} \mathcal{F}^{-1} \frac{Y(k)}{L(k)}$$

\mathcal{F} : a Fourier-transzformáció operátora

$Y(k) := \mathcal{F} y(v)$, stb.:

$$Y(k) = \frac{1}{\sqrt{2\pi}} \int_{-\infty}^{+\infty} y(v) e^{ikv} dv$$

$$y(v) = \frac{1}{\sqrt{2\pi}} \int_{-\infty}^{+\infty} Y(k) e^{-ikv} dk$$

$y(v)$ -t csak hibával (zajjal) terhelt formában tudjuk mérni:

$$y'(v) = y(v) + h(v) = \int_{-\infty}^{+\infty} p(w) l(v-w) dw + h(v)$$

\uparrow
fetéret zaj

$$L(k) = \frac{1}{\sqrt{2\pi}} e^{-|k|\Gamma} \Rightarrow \underbrace{\frac{1}{L(k)}}_{\sqrt{2\pi}} = \underbrace{e^{|k|\Gamma}}$$

kiterősíti a zaj nagyfrekvenciás ($k \gg 1/\Gamma$) részét

Megoldás: az invert Fourier-transzformáció előtt egy $D(k)$ nüröfüggvényel szorzunk: